

**МЕХАНИКА**

**ТВЕРДОГО ТЕЛА**

**№ 4 • 1993**

УДК 533.6.013.42

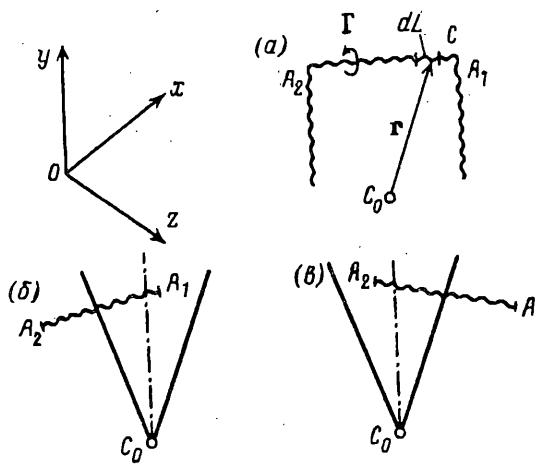
© 1993 г. В. А. ЗОРИН, В. И. МОРОЗОВ, А. Т. ПОНОМАРЕВ

## **МОДЕЛИРОВАНИЕ ДИНАМИКИ ВЫСОКОСКОРОСТНОГО ВРАЩАЮЩЕГОСЯ УПРУГОГО ЛЕТАТЕЛЬНОГО АППАРАТА**

В настоящее время большое внимание уделяется разработке методологии построения и применения математических моделей летательных аппаратов (ЛА) с привлечением современных численных методов аэродинамики, теории упругости и ЭВМ [1]. В решении проблемы аэроупругости даже традиционных ЛА имеется трудность, связанная с отсутствием унифицированного численного метода для расчета аэродинамических и аэроупругих характеристик на до- и сверхзвуковых скоростях полета [2]. Продолжающееся расширение диапазона скоростей полета ЛА вызывает кроме усложнения их геометрии и структуры еще ряд дополнительных трудностей: конструкция высокоскоростных ЛА в отличие от обычных аппаратов в период разгона подвергается широкополосному нагружению, что требует более тщательного подхода в определении ее упругих свойств и отображении их в математической модели аэроупругости; в уравнениях пространственного движения таких объектов приходится учитывать силы, связанные с наличием больших продольных ускорений и значительных скоростей вращения вокруг его центра масс.

В публикуемой статье предлагается методика построения модели пространственного движения беспилотного высокоскоростного вращающегося упругого ЛА, реализуемой в виде нелинейных интеграло-дифференциальных уравнений [3], линеаризованных по аэродинамике и упругости и дополненных членами, учитывающими его вращение и переменность во времени массы. Она базируется на синтезе данных, получаемых с помощью современных численных методов аэродинамики и строительной механики на ЭВМ. Аэродинамическая часть задачи аэроупругости решается в рамках модели идеальной скимаемой «холодной» среды и модифицированного метода дискретных вихрей (МДВ), позволяющего унифицировать расчет аэродинамических и аэроупругих характеристик в широком диапазоне скоростей полета [4]; упругая часть — путем нахождения частот и форм собственных колебаний конструкции методом декомпозиции [5] в сочетании с методом конечных элементов (МКЭ) [6]. Синтез составных частей аэроупругости — аэродинамической и упругой осуществляется на основе метода заданных форм [1], в качестве которых используются предварительно найденные собственные функции. Возможности методики иллюстрируются на примере изучения процесса разгона гипотетического беспилотного высокоскоростного вращающегося упругого ЛА переменной массы, имеющего в качестве управляющих и стабилизирующих органов тонкие несущие поверхности малого удлинения.

**1. Модель аэродинамики. Стационарная задача.** В соответствии с принятой методикой [2, 4] ЛА аппроксимируется базовыми вертикальными и горизонтальными тонкими несущими поверхностями, которые моделируются семейством поперечных и продольных вихревых отрезков, а свободная вихревая поверхность, сходящаяся с боковых и задних кромок — семейством свободных вихревых линий постоянной интенсивности, совпадающих с линиями тока. Скачки уплотнения на сверхзвуковых скоростях считаются слабыми, размещение их на поверхности аппарата постулируется. Аэродинамическая нагрузка определяется с помощью теоремы Жуковского «в малом» через нахождение неизвестных циркуляций присоединенных вихрей при выполнении граничных условий непротекания в соответствующим образом расположенных на несущих поверхностях контрольных точках и условия Чаплыгина — Жуковского о конечности скоростей на кромках схода пелен.



Фиг. 1

Основой построения вихревых схем являются вихревые отрезки конечной ( $A_1, A_2$ ) и полубесконечной ( $+\infty, A_1$ ) и ( $A_2, +\infty$ ) длин, которые в произвольной точке  $C_0(x_0, y_0, z_0)$  пространства индуцируют возмущенную скорость  $V_1(C_0)$  (фиг. 1). Элемент вихревого отрезка  $dL$  в выделенной точке пространства сжимаемого потока вызывает элементарную возмущенную скорость, величина которой определяется аналогом формулы Био-Савара

$$dV_1(C_0) = \frac{\Gamma h^2}{\pi E} \frac{r_{C_0 C} \times dL}{R_{C_0 C}^3}$$

$$R_{C_0 C} = [(x - x_0)^2 - h^2 [(y - y_0)^2 + (z - z_0)^2]]^{1/2} \quad (1.1)$$

$$h^2 = M_\infty^2 - 1, \quad r_{C_0 C} = (x - x_0) \mathbf{i} + (y - y_0) \mathbf{j} + (z - z_0) \mathbf{k}$$

где  $\mathbf{i}, \mathbf{j}, \mathbf{k}$  — орты декартовой системы координат  $Oxyz$ ;  $\Gamma$  — циркуляция вихревого отрезка;  $x, y, z$  — координаты произвольной точки  $C$ , в которую помещено начало элемента  $dL$ ;  $M_\infty$  — число Маха невозмущенного потока;  $E$  — множитель, равный 4 при  $M < 1$  и 2 при  $M > 1$ .

Рассмотрим поле скоростей от вихревого отрезка  $[A_1, A_2]$  конечной длины  $L$ . Величины, входящие в (1.1), будут

$$r_{C_0 C} = r_C - r_{C_0}, \quad r_C = r_{A_1} + t r_{A_1 A_2} \quad (0 \leq t \leq 1) \quad (1.2)$$

где  $r_C, r_{C_0}, r_{A_1}$  — векторы-радиусы точек  $C(x, y, z)$ ,  $C_0(x_0, y_0, z_0)$  и  $A_1(x_1, y_1, z_1)$  (фиг. 1, а). Интегрируя выражение (1.1) по длине  $L$  с учетом соотношений (1.2), получим формулу для определения возмущенной скорости  $V_1$  в точке  $C_0$  от вихревого отрезка  $[A_1, A_2]$  [4]:

$$V_1(C_0) = \frac{\Gamma h^2}{\pi E} \frac{r_{C_0 A_1} \times r_{A_1 A_2}}{4ac - b^2} \left( \frac{2a + b}{\sqrt{a + c + b}} - \frac{b}{\sqrt{c}} \right) \quad (1.3)$$

$$a = (x_2 - x_1)^2 - h^2 [(y_2 - y_1)^2 + (z_2 - z_1)^2]$$

$$b = (x_1 - x_0)(x_2 - x_1) - h^2 [(y_1 - y_0)(y_2 - y_1) + (z_1 - z_0)(z_2 - z_1)]$$

$$c = (x_1 - x_0)^2 - h^2 [(y_1 - y_0)^2 + (z_1 - z_0)^2]$$

При  $M > 1$  вихревой отрезок может пересекаться с линией Маха (фиг. 1, б, в). В этом случае интегрирование производится лишь по той его части, которая находится в обратном конусе Маха с вершиной в точке  $C_0$ . Тогда в соответствии с понятием конечной части интеграла по Адамару [7] будем иметь

$$V_1(C_0) = - \frac{\Gamma h^2}{2\pi} \frac{r_{C_0 A_1} \times r_{A_1 A_2}}{4ac - b^2} \frac{b}{\sqrt{c}} \quad (1.4)$$

$$V_1(C_0) = - \frac{\Gamma h^2}{2\pi} \frac{r_{C_0 A_1} \times r_{A_1 A_2}}{b^2} \frac{2a + b}{\sqrt{a + b}}$$

Здесь первое выражение относится к случаю фиг. 1, б а второе — к случаю фиг. 1, в.

Особенности на скачках уплотнения при пересечении вихревого отрезка с линией Маха учитываются через сингулярную составляющую возмущенной скорости  $V_1^*$  [8]:

$$V_1^*(C_0) = - \frac{\Gamma}{\Delta x_i} \frac{\sqrt{h^2 - \tan^2 \chi_i}}{2} \quad (1.5)$$

где  $\Delta x_i$  — средняя хорда вихревой панели,  $\chi_i$  — угол стреловидности  $i$ -го вихря.

Итак, на дозвуковых скоростях обтекания возмущенная скорость  $V_1$  вычисляется по формуле (1.3), а на сверхзвуковых — в дополнение к (1.3) используются соотношения (1.4) и (1.5).

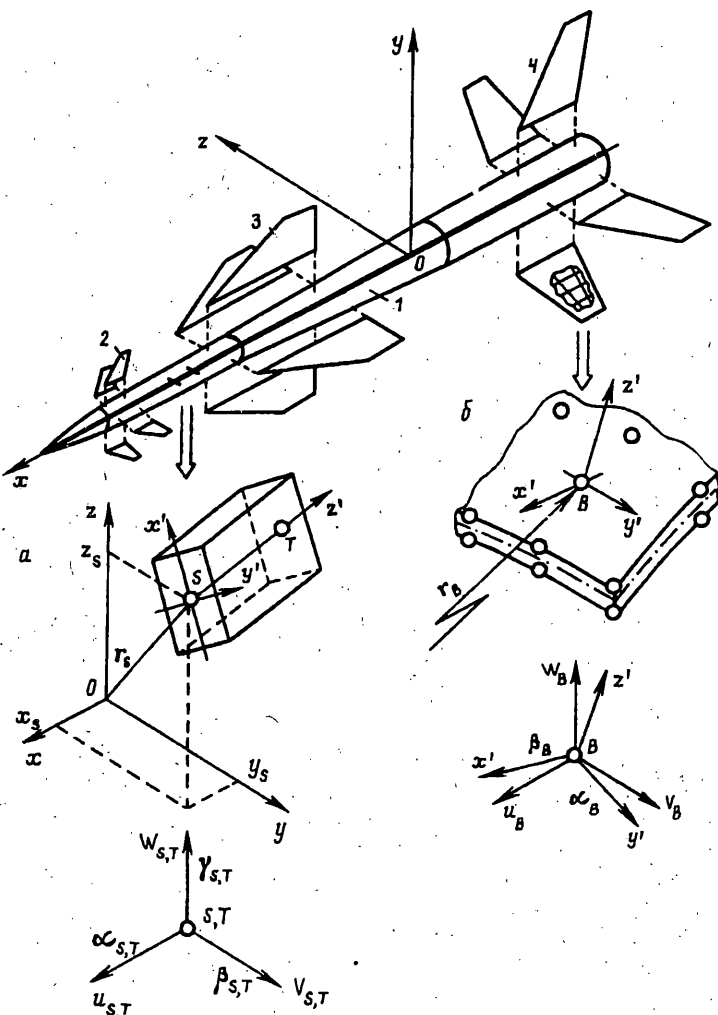
Исходная задача по расчету линейных аэродинамических характеристик сводится к решению ряда канонических  $\varepsilon_j$  — задач аэродинамики по кинематическим параметрам  $\varepsilon_j = \{q_{0k}, \dot{q}_{0k}, q_l, \dot{q}_l, \delta_v, \dot{\delta}_v, \Delta_\mu, \dot{\Delta}_\mu\}$ , где  $q_{0k}, \dot{q}_{0k}$  и  $q_l, \dot{q}_l$  — параметры, характеризующие соответственно смещение ЛА как жесткого тела и упругие перемещения точек его конструкции относительно связанной системы координат;  $\delta_v, \dot{\delta}_v$  — углы и скорости отклонения рулевых поверхностей ЛА;  $\Delta_\mu, \dot{\Delta}_\mu$  — параметры порывов ветра или ударных волн (здесь и далее точкой обозначается производная по времени). Тогда, записав в каждой контрольной точке граничные условия, получим систему линейных алгебраических уравнений для определения неизвестных циркуляций  $\Gamma$

$$\sum_{i=1}^N \sum_{j=1}^N \Gamma_{ij} W_{ij} = - 4\pi G_{\varepsilon_j} \quad (1.6)$$

где  $W_{ij}$  — коэффициенты, которые вычисляются в зависимости от режима обтекания по формуле (1.3) либо по (1.3) совместно с (1.4) и (1.5),  $G_{\varepsilon_j}$  — значение граничного условия, соответствующего кинематическому параметру  $\varepsilon_j$  в контрольной точке  $i$ ,  $N$  — число вихрей, которое равно числу контрольных точек.

**2. Упругая модель.** Строится на основе принципа декомпозиции [5] в сочетании с МКЭ [6]. При этом конструкция ЛА представляется в виде идеального упругого тела и «расчленяется» на отдельные подконструкции (фиг. 2), для которых соответствующая расчетная упругая схематизация выбирается в зависимости от их конструктивного оформления.

Как правило, корпус (фюзеляж) (1) ЛА представляет собой регулярную структуру и с достаточной для практики точностью схематизируется упругой балкой с произвольно распределенными по длине массой, моментами инерции и жесткостями, которая согласно МКЭ аппроксимируется стержневыми конечными элементами (СКЭ). СКЭ представляет собой прямолинейный, произвольно ориентированный в пространстве стержень из изотропного материала постоянного сечения по длине с двумя узлами, расположенными в центрах тяжести начального ( $z' = 0$ ) и конечного ( $z' = 1$ ) сечений (фиг. 2, а). Каждый из этих узлов имеет



Фиг. 2

шесть степеней свободы, представляетсями перемещениями  $u$ ,  $v$ ,  $w$  по направлению глобальных (связанных) осей  $x$ ,  $y$ ,  $z$  и углами поворота  $\alpha$ ,  $\beta$ ,  $\gamma$  относительно тех же осей соответственно.

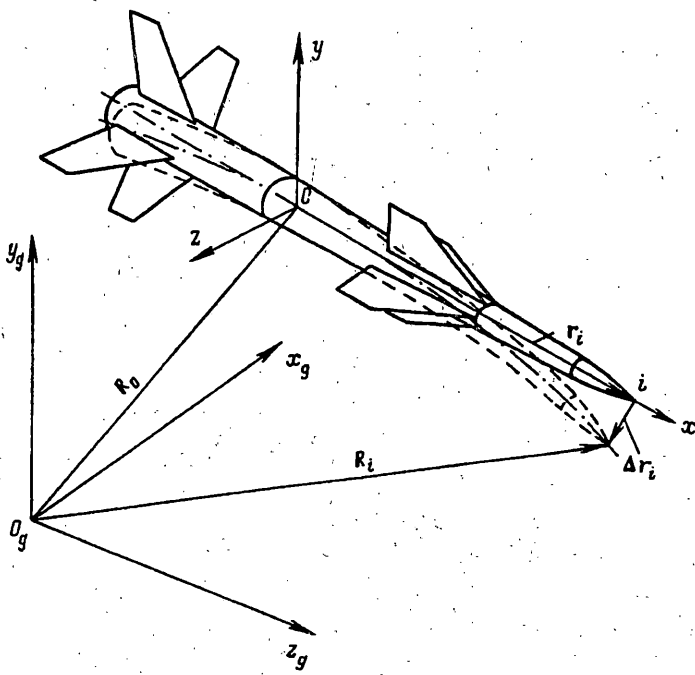
Поверхности (2—4) аппарата заменяются оболочковыми конечными элементами (ОКЭ). Поле перемещений ОКЭ характеризуется тремя линейными смещениями  $u$ ,  $v$ ,  $w$  и двумя углами поворота  $\alpha$  и  $\beta$  вектора-нормали к поверхности ОКЭ, совпадающего с осью  $Oz'$  (фиг. 2, б).

Проблема нахождения частот и форм собственных колебаний ЛА согласно декомпозиции и МКЭ сводится к решению модифицированным методом одновременных итераций в подпространстве матричного уравнения вида [9]:

$$[K] [\varphi] = [\Omega^2] [M] [\varphi] \quad (2.1)$$

$$[\varphi] = [\{f\}_1 \dots \{f\}_N]^T, \quad [\Omega^2] = \text{diag}(\omega_1^2, \dots, \omega_N^2)$$

где  $\{f\}$  — вектор-столбец узловых перемещений,  $\omega$  — частота колебаний,  $[M]$ ,  $[K]$  — соответственно матрицы масс и жесткости,  $N$  — целочисленный параметр, равный  $\min(2p, p+8)$  ( $p$  — число определяемых собственных частот и форм



Фиг. 3

системы). Критериями выхода из итерационного процесса, проводимого до сходимости  $[\Omega^2]_j \rightarrow [\Omega^2]$ ,  $[\varphi]_j \rightarrow [\varphi]$  ( $j = 1, J$ ), служат условия

$$|1 - (\omega_p^2)_{j-1}/(\omega_p^2)_j| < \text{EPS} \quad (i = \overline{1, p}), \quad j < J$$

$$\text{ESP} = |1 - (\omega_p^2)_{k-1}/(\omega_p^2)_k|$$

где  $J$  — предельное число итераций, EPS — относительная точность вычисления высшей из  $p$  требуемых частот  $\omega_p$ ,  $k$  — номер итерации. При заданном  $N$  процесс сходится не более, чем за восемь циклов итераций. Действительное число итераций зависит от того, насколько близко начальное приближение матрицы  $[\varphi]_0$  к матрице собственных векторов  $[\varphi] = [\varphi]_\infty$ . Выбор  $[\varphi]_0$  выполняется по схеме, основанной на знании лишь диагональных коэффициентов матриц  $[K]$  и  $[M]$ .

3. Синтез модели динамики движения упругого ЛА. Движение ЛА будем рассматривать относительно земной (инерциальной) системы координат  $O_g x_g y_g z_g$ , оси которой  $x_g$  и  $z_g$  лежат в горизонтальной плоскости, а ось  $y_g$  направлена вертикально вверх (фиг. 3). В качестве связанный системы координат  $O_i x_i y_i z_i$  выберем так называемые средние оси, совпадающие с главными центральными осями инерции деформированного ЛА. Вектор-радиус  $R_i$  произвольной точки ЛА в инерциальной системе координат представляется в виде суммы (см. фиг. 3):  $R_i = R_0 + r_i + \Delta r_i$ , в которой  $R_0$  — вектор-радиус начала связанный системы координат,  $r_i$  — вектор-радиус точки относительно связанных осей в недеформированном состоянии,  $\Delta r_i$  — вектор относительного перемещения точки при деформации тела.

Линейные и угловые скорости объекта как твердого тела предполагаются произвольными по величине, а упругие перемещения  $i$ -й точки конструкции  $\Delta r_i$ -малыми. Последние определяются относительно связанный системы координат  $O_i x_i y_i z_i$  и представляются в виде разложения в ряд по собственным формам колебаний, найденным по методике п. 2.

При составлении уравнений движения используется принцип затвердевания, согласно которому ЛА рассматривается как тело постоянной массы, если в качестве внешних сил учитываются реактивные силы и силы Кориолиса.

Система уравнений, описывающая пространственное движение высокоскоростного вращающегося упругого ЛА, в векторно-матричной форме имеет вид [3, 10]:

$$M_0(\dot{V} + \Omega \times V) = G + T^* + F_a + F_r + F_k + F_* \quad (3.1)$$

$$I\dot{\Omega} + \Omega \times I\Omega = M^* + M_a + M_k + M_*, \quad \dot{M}_0 = \mu^*$$

$$M_l[\ddot{q}_l + (2\kappa_l\Omega_l + E_l^k)\dot{q}_l + (\Omega_l^2 - \Omega_{xl}^2 - C_l^N)q_l] = P_l + T^*\cdot\varphi_l \quad (l = \overline{1, N_q})$$

Здесь  $M_0$  — масса ЛА,  $V$  — вектор абсолютной скорости центра масс ЛА,  $\Omega$  — вектор абсолютной угловой скорости,  $G$  — вес ЛА,  $I$  — тензор инерции,  $F_a$ ,  $M_a$  — главный вектор и главный момент аэродинамических сил,  $T^*$  — тяга двигателя, вектор которой считается направленным вдоль упругой оси корпуса,  $M^*$  — момент тяги двигателя.

Силы, обусловленные перемещением центра масс ЛА относительно его корпуса  $F_r$ , в общем случае равны

$$F_r = mW_c + 2m\Omega \times V_c \quad (3.2)$$

где  $V_c$ ,  $W_c$  — соответственно скорость и ускорение перемещения центра масс относительно корпуса. Обычно первым слагаемым в (3.2) в силу его малости пренебрегают. Тогда приближенно для  $F_r$  будем иметь  $F_r = 2m\Omega \times V_c$ .

Главный вектор  $F_k$  и главный момент сил Кориолиса  $M_k$ , возникающих при вращении ЛА вокруг центра масс и движения частиц топлива и газа относительно корпуса, определяются по формулам

$$F_k = - \int_{\Sigma} W_k dm, \quad M_k = - \int_{\Sigma} r' \times W_k dm$$

где  $r'$  — вектор-радиус рассматриваемой частицы фиктивного твердого тела  $\Sigma$ ,  $W_k$  — кориолисово ускорение, определяемое векторным произведением  $W_k = 2\Omega \times V$ , где  $V$  — относительная скорость движения частиц фиктивного твердого тела для момента времени  $t$ .

Далее в (3.1)  $F_*$ ,  $M_*$  — главный вектор и главный момент управляющих сил, возникающих при отклонении рулевых поверхностей для изменения перегрузок ЛА и условий его ориентации в пространстве;  $\mu^*$  — секундный расход топлива через сечение сопла двигателя;  $M_l$ ,  $q_l$ ,  $\kappa_l$ ,  $\Omega_l$ ,  $\Omega_{xl}$ ,  $P_l$  — соответственно обобщенная масса, обобщенная координата, коэффициент конструкционного демпфирования, собственная частота, угловая скорость по крену, обобщенная аэродинамическая сила, отвечающие  $l$ -й форме  $\varphi_l$ , собственных свободных колебаний (ССК);  $E_l^k$  — квадратная матрица, элементами которой являются коэффициенты демпфирования, обусловленные силами Кориолиса и определяемые по формуле [10]:

$$e_{ij} = 2 \int_0^l \mu(x) \frac{d\varphi_j}{dx} \varphi_i dx \quad (i = \overline{1, N_q})$$

где  $\mu(x)$  — массовый расход через произвольное поперечное сечение  $x$ ,  $\varphi_j$  — форма  $j$ -го тона собственных колебаний,  $l$  — длина ЛА,  $N_q$  — число тонов ССК,  $C_l^N$  — квадратная матрица, элементы которой характеризуют влияние сжимающих

и растягивающих сил в поперечных сечениях корпуса на вынужденные колебания конструкции. Элементы матрицы  $C_i^N$  вычисляются по зависимости [10]:

$$c_y = - \int_0^l N(x) \frac{d\varphi_j(x)}{dx} \frac{d\varphi_i(x)}{dx} dx + T^* \varphi_i(l) \frac{d\varphi_j(x)}{dx} \Big|_{x=l}$$

$$N(x) = j_m \int_0^x m(x) dx + \int_0^x X^a(x) dx$$

$$j_m = T^v/m, \quad T^v = T^* - X^a$$
(3.3)

Здесь  $N(x)$  — продольные сжимающие силы, действующие в поперечных сечениях корпуса,  $m(x)$  — погонная масса ЛА,  $X^a(x)$  — погонная сила аэродинамического сопротивления,  $j_m$  — интенсивность массовых сил, направленная против движения ЛА,  $T^v$  — эффективная тяга.

Ориентация подвижной системы координат  $Oxyz$  относительно неподвижной устанавливается с помощью параметров Родрига — Гамильтона  $\lambda_k$  ( $k = 0, 3$ ). Параметры  $\lambda_k$  составляют четыре компоненты (одна действительная и три мнимых) кватерниона  $\Lambda$ , связанные между собой уравнением [11]:

$$|\Lambda| = \lambda_0^2 + \lambda_1^2 + \lambda_2^2 + \lambda_3^2 = 1$$
(3.4)

Компоненты  $\lambda_k$  кватерниона  $\Lambda$  ищутся по известным кинематическим соотношениям [11].

Кинематические уравнения, связывающие производные по времени от координат земной системы  $O_gx_gy_gz_g$  и проекции скорости полета  $V_x, V_y, V_z$  соответственно на оси  $x, y, z$  связанной с ЛА системы координат, имеют вид

$$\begin{vmatrix} \dot{X}_g \\ \dot{Y}_g \\ \dot{Z}_g \end{vmatrix} = |V_x V_y V_z|^T [a]$$
(3.5)

где элементами матрицы  $[a]$  служат коэффициенты  $a_{ij}$  ( $i, j = \overline{1, 3}$ ) — направляющие косинусы, определяемые через параметры  $\lambda_k$  с помощью известных зависимостей [11].

Таким образом, решение задачи динамики движения высокоскоростного вращающегося упругого ЛА при разгоне сводится к совместному интегрированию уравнений (3.1) и (3.5).

Возможности предлагаемой методологии синтезирования аэроупругих моделей ниже проиллюстрируем на конкретном примере.

**4. Пример.** Рассмотрим процесс нагружения, деформирования и движения гипотетического вращающегося крестокрылого ЛА при разгоне. При формировании математической модели аэроупругости будем учитывать три низших тона ССК, рассчитанные по методике, изложенной в п. 2.

Уравнения движения (3.1) в скалярной форме приобретают вид

$$m(\dot{V}_x + \omega_y V_z - \omega_z V_y) = 0,8T^* \cos \left( \sum_{i=1}^3 \varphi_i^d \right) + 0,2T^* \cos \left( \sum_{i=1}^3 \varphi_i^s \right) +$$

$$+ 0,5c_{y\rho} V^2 S \sin \alpha - 0,5c_{x\rho} V^2 S \cos \alpha - G \sin \vartheta$$

$$m(\dot{V}_y + \omega_z V_x - \omega_x V_z) = 0,8T^* \sin \left( \sum_{i=1}^3 \varphi_i^d \right) + 0,2T^* \sin \left( \sum_{i=1}^3 \varphi_i^s \right) +$$

$$+ 0,5c_{y\rho} V^2 S \cos \alpha - 0,5c_{x\rho} V^2 S \sin \alpha - G \cos \vartheta \cos \gamma$$

$$m(\dot{V}_z + \omega_x V_y - \omega_y V_x) = 0,5c_{z\rho} V^2 S + G \cos \vartheta \sin \gamma$$

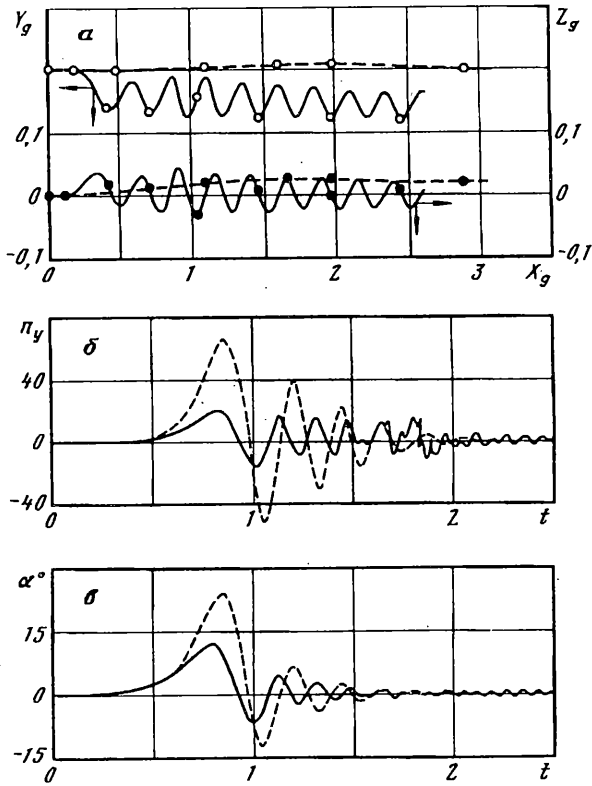
$$\begin{aligned}
I_x \dot{\omega}_x + (I_z - I_y) \omega_y \omega_z &= 0,5 m_x \rho V^2 S b \\
I_y \dot{\omega}_y + (I_x - I_z) \omega_x \omega_z &= 0,5 m_y \rho V^2 S b \\
I_z \dot{\omega}_z + (I_y - I_x) \omega_x \omega_y &= 0,5 m_z \rho V^2 S b + 0,8 T^* \left[ \cos \left( \sum_{i=1}^3 \varphi_i^d \right) \sum_{i=1}^3 f_i^d + \right. \\
&\quad \left. + \sin \left( \sum_{i=1}^3 \varphi_i^d \right) l_d \right] + 0,2 T^* \left[ \sin \left( \sum_{i=1}^3 \varphi_i^s \right) \sum_{i=1}^3 f_i^s + \sin \left( \sum_{i=1}^3 \varphi_i^s \right) l_s \right] \\
\dot{m} &= T^*/(j^* g), \quad m_i [\ddot{q}_i + 2\alpha_i \omega_i \dot{q}_i + (\omega_i^2 - (\omega_x^2)_i) q_i] = \\
&= 0,5 c_i \rho V^2 S b + 0,8 T^* \sin(\varphi_i^d) f_i^d + 0,2 T^* \sin(\varphi_i^s) f_i^s \quad (i = \overline{1, 3})
\end{aligned} \tag{4.1}$$

Здесь  $m$  — масса ЛА;  $I_x, I_y, I_z$  — моменты инерции жесткого ЛА относительно главных осей инерции;  $c_x, c_y, c_z, m_x, m_y, m_z$  — соответственно коэффициенты лобового сопротивления, подъемной и боковой сил, моментов крена, рыскания и тангажа;  $c_i$  — безразмерный коэффициент обобщенной аэродинамической силы  $P_i$ ;  $\omega_x, \omega_y, \omega_z$  — проекции вектора угловой скорости  $\Omega$  на оси связанной системы координат  $Oxyz$ ;  $\alpha, \beta, \gamma$  — соответственно углы атаки, тангажа и крена;  $\rho$  — плотность невозмущенного потока;  $V$  — абсолютная скорость ЛА, определяемая по формуле  $V = [V_x^2 + V_y^2 + V_z^2]^{1/2}$ ;  $S$  — характерная площадь;  $b$  — характерный линейный размер;  $j^*$  — единичный импульс двигателя ЛА;  $\varphi_i^d, \varphi_i^s, f_i^d, f_i^s$  — соответственно углы поворота дна двигателя и среза сопла относительно центра масс ЛА и прогибы этих сечений относительно исходного недеформированного состояния корпуса  $i$ -й формы ССК.

Тяга двигателя  $T^*$  раскладывалась на две составляющие, одна из которых прикладывалась ко дну двигателя и по величине составляла 80% от полной тяги, а другая, равная  $0,2T^*$ , — в центре среза сопла. Причем, при недеформированном состоянии корпуса принималось, что вектор результирующей силы от этих двух составляющих проходит через центр масс ЛА. Для упрощения расчетов в уравнениях движения (4.1) не учитывались силы Кориолиса и силы, возникающие при перемещении центра масс ЛА вдоль корпуса. В уравнениях упругих колебаний не принимались во внимание сжимающие и растягивающие силы в поперечных сечениях конструкции.

Суммарные аэродинамические коэффициенты в (4.1) определялись с помощью МДВ (см. п.1) на основе гипотезы квазистационарности по формулам

$$\begin{aligned}
c_y &= c_y^\alpha \alpha + c_y^\omega z \omega_z + \sum_{v=1}^k (c_y^{\delta_v} \delta_v + c_y^{\dot{\delta}_v} \dot{\delta}_v) + \sum_{i=1}^3 (c_y^q q_i + c_y^{\dot{q}} \dot{q}_i) \\
c_z &= c_z^\beta \beta + c_z^\omega y \omega_y + \sum_{v=1}^k (c_z^{\delta_v} \delta_v + c_z^{\dot{\delta}_v} \dot{\delta}_v) + \sum_{i=1}^3 (c_z^q q_i + c_z^{\dot{q}} \dot{q}_i) \\
m_x &= m_x^\omega x \omega_x + \sum_{v=1}^k (m_x^{\delta_v} \delta_v + m_x^{\dot{\delta}_v} \dot{\delta}_v) + \sum_{i=1}^3 (m_x^q q_i + m_x^{\dot{q}} \dot{q}_i) \\
m_y &= m_y^\beta \beta + m_y^\omega y \omega_y + \sum_{v=1}^k (m_y^{\delta_v} \delta_v + m_y^{\dot{\delta}_v} \dot{\delta}_v) + \sum_{i=1}^3 (m_y^q q_i + m_y^{\dot{q}} \dot{q}_i) \\
m_z &= m_z^\alpha \alpha + m_z^\omega z \omega_z + \sum_{v=1}^k (m_z^{\delta_v} \delta_v + m_z^{\dot{\delta}_v} \dot{\delta}_v) + \sum_{i=1}^3 (m_z^q q_i + m_z^{\dot{q}} \dot{q}_i) \\
c_l &= c_l^\alpha \alpha + c_l^\beta \beta + c_l^\omega x \omega_x + c_l^\omega y \omega_y + c_l^\omega z \omega_z +
\end{aligned} \tag{4.2}$$



Фиг. 4

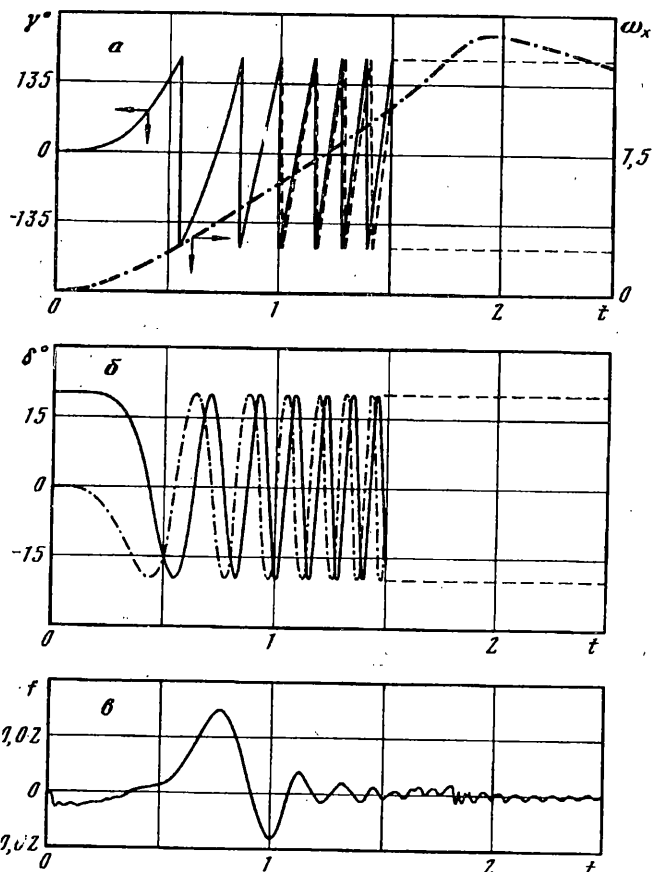
$$+ \sum_{v=1}^k (c_i^{\delta_v} \dot{\delta}_v + c_l^{\delta_v} \ddot{\delta}_v) + \sum_{i=1}^3 (c_i^q q_i + c_l^q \dot{q}_i) \quad (i, l = \overline{1, 3})$$

где  $\beta$  — угол скольжения,  $\delta_v$  — угол отклонения  $v$ -й рулевой поверхности,  $k$  — количество аэродинамических рулей. Коэффициент лобового сопротивления  $c_x$  определялся по экспериментальной поляре ЛА, т. е. зависимости  $c_x$  от коэффициента подъемной силы  $c_y$ , числа Маха и высоты полета.

На фиг. 4 нанесено соответственно изменение по времени  $t$  [с] текущих координат аппарата  $x_g$ ,  $y_g$ ,  $z_g$  [км] относительно земной системы  $O_g x_g y_g z_g$  (фиг. 4, а), нормальной перегрузки  $n_y$  в центре масс ЛА (фиг. 4, б) и угла атаки  $\alpha$  (фиг. 4, в) при движении аппарата как твердого тела (штриховые линии) и с учетом упругости конструкции (сплошные линии) при разгоне от  $M = 0$  до  $M = 6$ .

Фиг. 5, а иллюстрирует изменение во времени  $t$  в процессе разгона ЛА угла крена  $\gamma$  (сплошная линия — полет ЛА с учетом упругости конструкции, штриховая — без учета упругости) и угловой скорости  $\omega_x$  [Гц] (штрихпунктирная линия). Первоначальное положение и законы отклонения рулевых поверхностей в процессе полета демонстрирует фиг. 5, б; сплошная линия относится к рулям тангенса, штрихпунктирная — к рулям курса. Изменение по времени  $t$  прогиба  $f$  [м] точки корневого сечения хвостового оперения ЛА относительно связанной системы координат  $Oxyz$  отражено на фиг. 5, в.

Из фиг. 4, 5 видно, что упругость конструкции оказывает значительное влияние на параметры движения (фиг. 4, а, в), нагрузки (фиг. 4, б) и деформирования (фиг. 5, в) в процессе разгона ЛА. Колебательный характер изменения рассматриваемых параметров объясняется наличием вращения ЛА по крену (фиг. 5, а) и отклонения аэродинамических рулей (фиг. 5, б), играющих роль возмущающего



Фиг. 5

фактора. Анализ графиков фиг. 4 и фиг. 5, $\alpha$  показывает, что упругость конструкции, с одной стороны, демпфирует амплитуды колебаний параметров нагружения и движения ЛА, что благоприятно сказывается на устойчивости движения аппарата в целом, а с другой — ухудшает его управляемость (фиг. 4, $\alpha$ ). Это свидетельствует о том, что за счет упругости конструкции вращающийся ЛА крестокрылой компоновки во время разгона становится более устойчивым и менее управляемым.

#### СПИСОК ЛИТЕРАТУРЫ

1. Белоцерковский С. М., Кочетков Ю. А., Красовский А. А., Новицкий В. В. Введение в аэроавтодемпфирование. М.: Наука, 1980. 384 с.
2. Белоцерковский С. М., Скрипач Б. К., Табачников В. Г. Крыло в нестационарном потоке газа. М.: Наука, 1971. 767 с.
3. Астапов И. С., Белоцерковский А. С., Морозов В. И. Нелинейные интегродифференциальные уравнения аэроупругости // Изв. АН СССР. МТТ. 1985. № 6. С. 61—70.
4. Граськин С. С. Расчет отрывного обтекания треугольных крыльев сжимаемым потоком // Уч. записки ЦАГИ. 1991. Том 22. № 4. С. 53—61.
5. Кузнецов О. В. Модели для расчета частотного спектра неоднородных оболочечных конструкций // Изв. АН СССР. МТТ. 1987. № 3. С. 185—189.
6. Зенкевич О. Метод конечных элементов. М.: Мир, 1977. 542 с.
7. Общая теория аэrodинамики больших скоростей / Под. ред. У. Сирса. М.: Воениздат, 1962. 667 с.

8. Алексеев Г. Ю., Еремин В. Ю. Дискретный вихрь в сверхзвуковом потоке // Тр. ЦАГИ. 1987. Вып. 2321. С. 39—48.
9. Белостоцкий А. М. Модификация и применение численных методов к расчету плитно-оболочных систем на сейсмические воздействия. В кн. Динамические характеристики и колебания элементов энергетического оборудования. М.: Наука, 1980. С. 41—58.
10. Колесников К. С., Сухов В. Н. Упругий летательный аппарат как объект автоматического управления. М.: Машиностроение, 1974. 267 с.
11. Бранец В. Н., Шмыглевский И. П. Применение кватернионов в задачах ориентации твердого тела. М.: Наука, 1973. 320 с.

Москва

Поступила в редакцию  
4.VI.1992